

I. AES— Rijndael

Rijndael - Internal Structure

Rijndael is an iterated block cipher with variable length block and variable key size. The number of rounds is defined by the table:

	Nb = 4	Nb = 6	Nb = 8
Nk = 4	10	12	14
Nk = 6	12	12	14
Nk = 8	14	14	14

Nb = length of data block in 32-bit words

Nk = length of key in 32-bit words

Rijndael - Internal Structure

- First **Initial Round Key Addition**
- 9 rounds, numbered 1-9, each consisting of
 - Byte Substitution** transformation
 - Shift Row** transformation
 - Mix Column** transformation
 - Round Key Addition**
- A final round (round 10) consisting of
 - Byte Substitution** transformation
 - Shift Row** transformation
 - Final Round Key Addition**

Rijndael - Inverse Structure

ENCRYPT (2 rounds)

DECRYPT (2 rounds) → INV ENCRYPT (2 rounds)

Initial Round Key Add

Final Round Key Add → Inv Initial Round Key Add

Byte Substitution

Inv Shift Row

↘ ↗
Inv Byte Substitution

Shift Row

Inv Byte Substitution

↘ ↗
Inv Shift Row

Mix Column

Round Key Addition

↘ ↗
Inv Mix Column

Round Key Addition

Inv Mix Column

↘ ↗
Inv Round Key Addition

Byte Substitution

Inv Shift Row

↘ ↗
Inv Byte Substitution

Shift Row

Inv Byte Substitution

↘ ↗
Inv Shift Row

Final Round Key Add

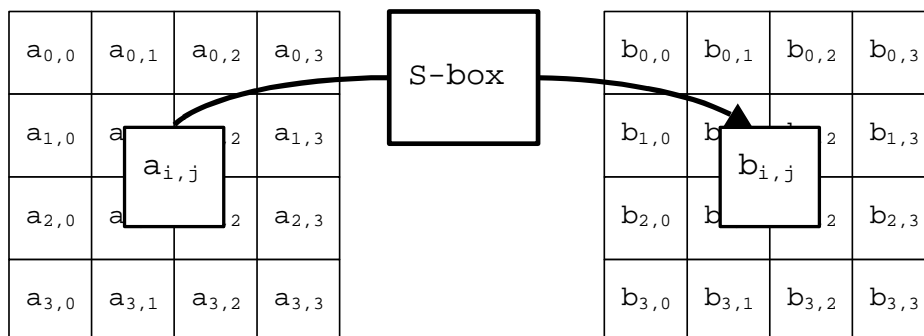
Initial Round Key Add → Inv Final Round Key Add

Rijndael-128 State and 128 Cipher Key

$a_{0,0}$	$a_{0,1}$	$a_{0,2}$	$a_{0,3}$
$a_{1,0}$	$a_{1,1}$	$a_{1,2}$	$a_{1,3}$
$a_{2,0}$	$a_{2,1}$	$a_{2,2}$	$a_{2,3}$
$a_{3,0}$	$a_{3,1}$	$a_{3,2}$	$a_{3,3}$

$k_{0,0}$	$k_{0,1}$	$k_{0,2}$	$k_{0,3}$
$k_{1,0}$	$k_{1,1}$	$k_{1,2}$	$k_{1,3}$
$k_{2,0}$	$k_{2,1}$	$k_{2,2}$	$k_{2,3}$
$k_{3,0}$	$k_{3,1}$	$k_{3,2}$	$k_{3,3}$

Byte Substitution



Rijndael S-box

Sbox[256] = {

99, 124, 119, 123, 242, 107, 111, 197, 48, 1, 103, 43, 254, 215, 171, 118,
 202, 130, 201, 125, 250, 89, 71, 240, 173, 212, 162, 175, 156, 164, 114, 192,
 183, 253, 147, 38, 54, 63, 247, 204, 52, 165, 229, 241, 113, 216, 49, 21,
 4, 199, 35, 195, 24, 150, 5, 154, 7, 18, 128, 226, 235, 39, 178, 117,
 9, 131, 44, 26, 27, 110, 90, 160, 82, 59, 214, 179, 41, 227, 47, 132,
 83, 209, 0, 237, 32, 252, 177, 91, 106, 203, 190, 57, 74, 76, 88, 207,
 208, 239, 170, 251, 67, 77, 51, 133, 69, 249, 2, 127, 80, 60, 159, 168,
 81, 163, 64, 143, 146, 157, 56, 245, 188, 182, 218, 33, 16, 255, 243, 210,
 96, 129, 79, 220, 34, 42, 144, 136, 70, 238, 184, 20, 222, 94, 11, 219,
 224, 50, 58, 10, 73, 6, 36, 92, 194, 211, 172, 98, 145, 149, 228, 121,
 231, 200, 55, 109, 141, 213, 78, 169, 108, 86, 244, 234, 101, 122, 174, 8,
 186, 120, 37, 46, 28, 166, 180, 198, 232, 221, 116, 31, 75, 189, 139, 138,
 112, 62, 181, 102, 72, 3, 246, 14, 97, 53, 87, 185, 134, 193, 29, 158,
 225, 248, 152, 17, 105, 217, 142, 148, 155, 30, 135, 233, 206, 85, 40, 223,
 140, 161, 137, 13, 191, 230, 66, 104, 65, 153, 45, 15, 176, 84, 187, 22};

Rijndael S-box Design View

Galois field $GF(2^8)$ with polynomial

$$m(x) = x^8 + x^4 + x^3 + x + 1$$

The Rijndael S-box is the composition $f \circ g$ where

$$g(x) = x^{-1}, x \in GF(2^8), x \neq 0, \text{ and}$$

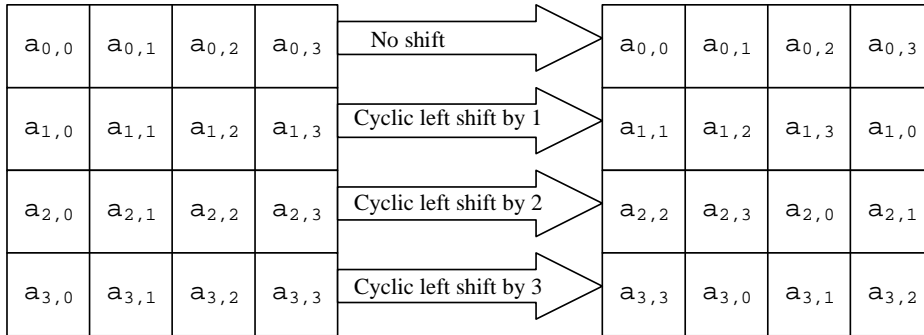
$$g(0) = 0$$

and f is the affine transformation defined by $y = f(x)$

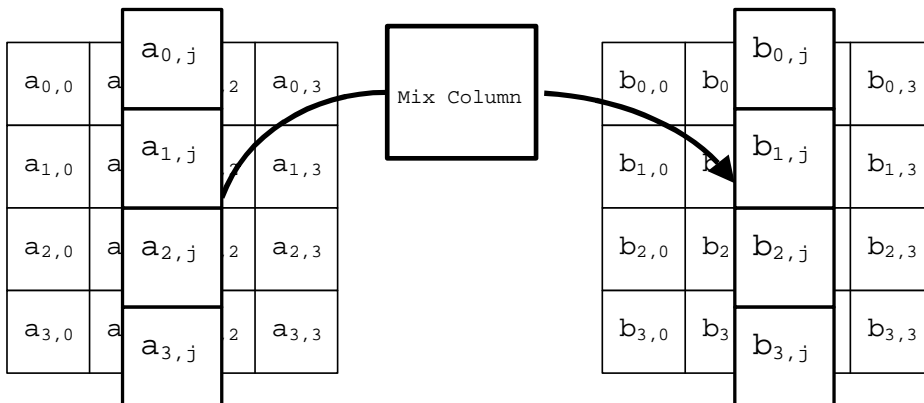
$$\begin{bmatrix} y_0 \\ y_1 \\ y_2 \\ y_3 \\ y_4 \\ y_5 \\ y_6 \\ y_7 \end{bmatrix} = \begin{bmatrix} 1 & 0 & 0 & 0 & 1 & 1 & 1 & 1 \\ 1 & 1 & 0 & 0 & 0 & 1 & 1 & 1 \\ 1 & 1 & 1 & 0 & 0 & 0 & 1 & 1 \\ 1 & 1 & 1 & 1 & 0 & 0 & 0 & 1 \\ 1 & 1 & 1 & 1 & 1 & 0 & 0 & 0 \\ 0 & 1 & 1 & 1 & 1 & 1 & 0 & 0 \\ 0 & 0 & 1 & 1 & 1 & 1 & 1 & 0 \\ 0 & 0 & 0 & 1 & 1 & 1 & 1 & 1 \end{bmatrix} \begin{bmatrix} x_0 \\ x_1 \\ x_2 \\ x_3 \\ x_4 \\ x_5 \\ x_6 \\ x_7 \end{bmatrix} + \begin{bmatrix} 1 \\ 1 \\ 0 \\ 0 \\ 0 \\ 1 \\ 1 \\ 0 \end{bmatrix}$$

$$\text{Inv}(f \circ g) = g \circ (\text{Inv } f)$$

Shift Row



Mix Column



Mix Column - Implemented

The mix column transformation mixes one column of the state at a time.

Column j :

$$\begin{aligned} b_{0,j} &= T_2(a_{0,j}) \oplus T_3(a_{1,j}) \oplus a_{2,j} \oplus a_{3,j} \\ b_{1,j} &= a_{0,j} \oplus T_2(a_{1,j}) \oplus T_3(a_{2,j}) \oplus a_{3,j} \\ b_{2,j} &= a_{0,j} \oplus a_{1,j} \oplus T_2(a_{2,j}) \oplus T_3(a_{3,j}) \\ b_{3,j} &= T_3(a_{0,j}) \oplus a_{1,j} \oplus a_{2,j} \oplus T_2(a_{3,j}) \end{aligned}$$

where:

$$\begin{aligned} T_2(a) &= 2 * a && \text{if } a < 128 \\ T_2(a) &= (2 * a) \oplus 283 && \text{if } a \geq 128 \\ T_3(a) &= T_2(a) \oplus a. \end{aligned}$$

Mix Column - Design view

The columns of the State are considered as polynomials over $GF(2^8)$.

They are multiplied by a fixed polynomial $c(x)$ given by

$$c(x) = '03' x^3 + '01' x^2 + '01' x + '02'$$

The product is reduced modulo $x^4 + '01'$.

Matrix form

$$\begin{bmatrix} b_{0,j} \\ b_{1,j} \\ b_{2,j} \\ b_{3,j} \end{bmatrix} = \begin{bmatrix} 02 & 03 & 01 & 01 \\ 01 & 02 & 03 & 01 \\ 01 & 01 & 02 & 03 \\ 03 & 01 & 01 & 02 \end{bmatrix} \begin{bmatrix} a_{0,j} \\ a_{1,j} \\ a_{2,j} \\ a_{3,j} \end{bmatrix}$$

The Inverse Mix Column polynomial is $c(x)^{-1} \text{ mod } (x^4 + '01') = d(x)$ given by

$$d(x) = '0B' x^3 + '0D' x^2 + '09' x + '0E'$$

AES salaamisfunktio

tila $x^{(r)} = (x_{ij}^{(r)})$, $i, j = 0, 1, 2, 3$, $r = 1, 2, \dots, 10$, $x_{ij}^{(r)} \in GF(2^8)$
avain $k^{(r)} = (k_{ij}^{(r)})$, $i, j = 0, 1, 2, 3$, $r = 0, 1, 2, \dots, 10$, $k_{ij}^{(r)} \in GF(2^8)$

AES operaatio:

$$x^{(1)} = p \oplus k^{(0)}$$

$$x^{(r+1)} = M(S(F(G(x^{(r)}))) \oplus k^{(r)}, r = 1, 2, \dots, 9$$

$$c = S(F(G(x^{(10)}))) \oplus k^{(10)}$$

missä

M, S ovat lineaarisia funktioita kerroinkunnan $GF(2^8)$ suhteen

$G = (g)$ missä $g : GF(2^8) \rightarrow GF(2^8)$, $g(x) = x^{-1}$, $g(0) = 0$

$F = (f)$ missä $f - \lambda_0$ on additiivinen funktio kunnassa $GF(2^8)$

Linearisoitu polynomi

Murphy-Robshaw 2002:

f : n esitys linearisoituna polynomina

$$f(x) = \lambda_0 + \sum_{l=0}^7 \lambda_{l+1} x^{2^l}$$

missä kertoimet λ_l ja kaikki laskutoimitukset kunnassa $GF(2^8)$

Murphy ja Robshaw upottivat AES:n kahdeksan kertaa suurempaan BES algoritmiin, jonka tilavektorissa 8×16 tavua, upotuskuvauksella

$$\phi(x) = (x, x^2, x^{2^2}, \dots, x^{2^7}), \quad x \in GF(2^8)$$

Eräs AES yhtälösystemi

$$0 = x_{ij}^{(1)} + p_{ij} + k_{ij}^{(0)}$$

$$r = 1, 2, \dots, 10: \quad 0 = y_{ij}^{(r)} x_{ij}^{(r)} + 1$$

$$0 = y_{ij0}^{(r)} + y_{ij}^{(r)} \quad (\text{merkintä!})$$

$$0 = y_{ijl}^{(r)} + (y_{ij,l-1}^{(r)})^2, \quad l = 1, \dots, 7 \quad \text{konjugointi}$$

$$0 = z_{ij}^{(r)} + \sum_{l=0}^7 \lambda_{l+1} y_{ijl}^{(r)} + \lambda_0$$

$$r \neq 10: \quad 0 = x_{ij}^{(r+1)} + \sum_{m,n=0}^3 \alpha_{ij,mn} z_{mn}^{(r)} + k_{ij}^{(r)}$$

$$0 = c_{ij} + \sum_{m,n=0}^3 \beta_{ij,mn} z_{mn}^{(10)} + k_{ij}^{(10)}$$

AES yhtälösystemit

Tässä yhtälöryhmässä

- $80 \times 16 = 1280$ kvadraattista yhtälöä
- $21 \times 16 = 336$ lineaarista yhtälöä
- yhteensä 1616 yhtälöä
- 1600 tuntematonta tilamuuttujaa
- 176 tuntematonta avainmuuttujaa (johdettu 16 perusmuuttujasta)
- avainten johtaminen kuvattavissa samanlaisella yhtälöryhmällä
- ei näyttäisi olevan ylimääritelty (overdefined)

Murphy-Robshaw yhtälöryhmä:

- yhteensä 5280 yhtälöä, joista 3840 kvadraattista
- 2560 tilamuuttujaa ja 1408 (= 8×176) avainmuuttujaa
- avainsysteemissä 2560 yhtälöä, joista 960 kvadraattista ja siinä on yhteensä 2048 tuntematonta
- ylimääritelty

Yhtälöryhmän ratkaisusta

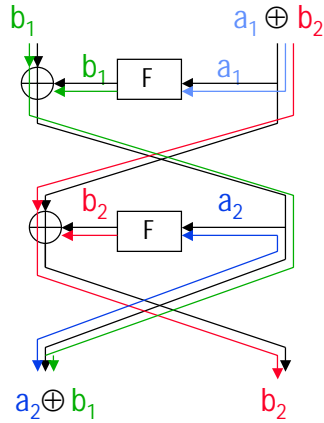
Laskennallinen algebra

- Uusia tehokkaita menetelmiä polynomiyhtälöryhmien ratkaisemiseksi
- Gröbnerin kannat
- Algoritmeja
 - Buchberger 1965, 1979, 1985
 - Faugère-Gianni-Lazard-Mora (FGLM) 1993
 - F4, F5,...
- Algoritmien kompleksisuus ei tunnettu
- Jos ratkaisua ei löydy, niin ratkaisun kompleksisuutta ei pystytä määrittämään.
- Useita jonosalausalgoritmeja ratkaistu (murrettu).
- AES ei ole ratkennut.

Uusi testi ja suunnittelukriteeri symmetrisille salaamisalgoritmeille.

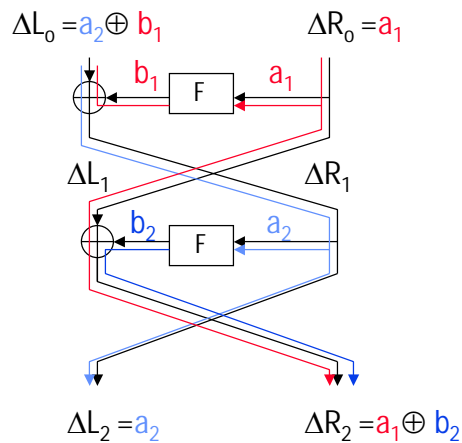
2. Linear and differential cryptanalysis for Feistel ciphers

Principles of Linear Cryptanalysis 4



Next we shall determine the probability of the two round linear approximation given the probabilities $r(a_1, b_1)$ and $r(a_2, b_2)$. For that purpose we prove the following result.

Feistel salaajan differentiaalinen kryptoanalyysi



Todennäköisyys $\approx p(a_1, b_1) p(a_2, b_2)$,

Tällainen todennäköinen relaatio on *differentiaalinen karakteristika*.

Feistel salaaja – Bijektiivinen kierrosfunktio:
Viiden kierroksen mahdoton differentiaalinen karakteristika

